

[12P-23]

RF CHARACTERISTICS OF 324MHZ 10KW RF PULSE AMPLIFIERSeiya Yamaguchi^{*)}, Takao Kato and Syuichi Ishiguro^{a)}High Energy Accelerator Research Organization (KEK)
1-1 Oho, Tsukuba, Ibaragi, 305-0801 JAPANa) NEC Corporation
1-10 Nisshincyo, Fuchu, Tokyo 183-8501 JAPAN**Abstract**

As a power source for buncher cavity of high intensity proton linac, a 10kW transistor pulse amplifier was manufactured and tested. Rf characteristics such as frequency response, phase flatness in a pulse and long-term stability of amplitude and phase were measured. Rise and fall time of the pulse was also measured for pulse structure of chopper cavity.

324MHz 10kW 高周波パルス増幅器の高周波特性**1. はじめに**

原子核・素粒子物理、中性子科学、ミューオン科学等の最先端の研究を行なうことを目的とする大強度陽子加速器の開発が、高エネルギー加速器研究機構と日本原子力研究所の統合計画として進められている[1]。大強度陽子加速器の最上流に位置する陽子線型加速器の3MeVビームラインでは、高周波四重極空洞とドリフトチューブリニアック(DTL)の間にバンチャーパー空洞2台とチョッパー空洞2台が置かれ、それぞれDTLの入射効率の改善、後続の3GeVリングへの入射のためのチョップドビームの生成に用いられる[2,3]。これらの空洞はすべて324MHzの高周波空洞であり、所要電力はバンチャーパー用が10kW、チョッパー用が20kWである。バンチャーパー用とチョッパー用の高周波増幅器に要求される特性の中で最も大きく異なるのはパルスの立上がり特性であり、チョッパー用の早い(10ns以下)立上がり特性を得る為には今後の開発が必要である。昨年度、バンチャーパー空洞用の10kW高周波パルス増幅器を製作したが、そこではチョッパー用増幅器のための早い立上がり特性実現に目処をつけることを目的の一つとした。

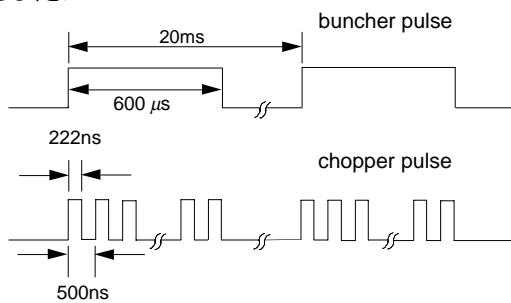


図1 チョッパー用およびバンチャーパー用パルスのパルス構造。

本稿ではチョッパー用とバンチャーパー用の2種類のパルス構造(図1参照)に対するパルス増幅器の高周波特性の測定結果について報告する。

2. 電気的仕様

本増幅器はトランジスタ電力増幅器を10台並列合成したもので、電気的特性は表1に示す通りである。概観の写真を図2に示す。

表1 10kW高周波パルス増幅器の電気的仕様。

| | |
|-------------------|---|
| 方式 | 全固体化B級またはAB級増幅器 |
| 周波数 | 324.0±5MHz |
| 出力電力 | 10kW(ピーク) |
| 出力インピーダンス | 50Ω |
| 入力パルス構造 | チョッパー用：パルス幅222ns、休み278ns、長さ600μs、バンチャーパー用：パルス幅600μs |
| パルス立上がり/立下がり時間 | 20ns以下 |
| パルス内位相平坦度 | ±1.5°以下 |
| パルス繰返し | 1-50Hz可変 |
| オーバーシュート/アンダーシュート | ±5%以下 |
| パルス毎の電力および位相変動 | |
| 電力 | ±1.5%以下 |
| 位相 | ±1.5°以下 |
| 高調波(2倍) | -60dB |
| 出力接栓 | WX-77D同軸管 |
| 出力モニター | 結合度50dB |
| 使用環境温度 | 27±2°C |
| 冷却方式 | 強制空冷式 |

^{*)} S. Yamaguchi, 0298-64-5693,
Seiya.Yamaguchi@kek.jp



図 2 10kW,324MHz 高周波パルス増幅器の写真.

3. 高周波特性

3.1 測定系

チョッパー用とバンチャーユ用の高周波源はパルス構造が異なるので励振系および測定系は図 3 に示すように別のものを用いた。

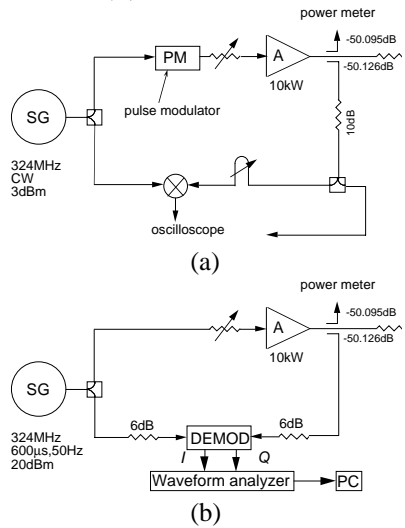


図 3 10kW 高周波増幅器用励振系および測定系.
(a) チョッパー用, (b) バンチャーユ用.

(a)ではミキサーを用い, (b)では IQ デモジュレーターを用いたのは, (b)は ADC とデータ処理に時間がかかるのでパルスの早い立上がりの測定ができないからであり, (a)は長いパルス(600μs)では位相のパルス内平坦度が±10° 近くに達しミキサーの線形領域から外れてしまうためである。

3.2 入出力特性

高周波電力の入出力特性を図 4 に示す。チョッパー用パルスとバンチャーユ用パルスに対して測定したが、両者とも約 11dBm の入力で 70dBm(10kW)の出力が得られている。

3.3 周波数特性

出力電力の周波数特性を図 5 に示す。チョッパー

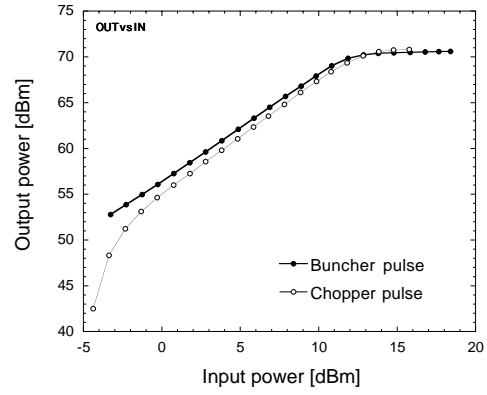


図 4 高周波電力の入出力特性.

用パルス、バンチャーユ用パルスとともに 324 ± 5 MHz の範囲で ±1dB 以下の範囲におさまっている。

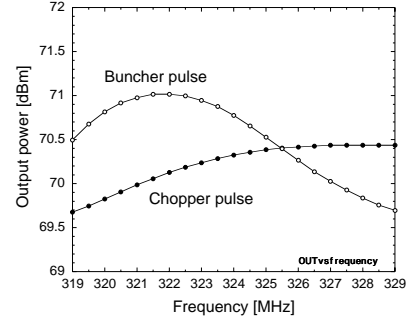


図 5 出力電力の周波数依存性.

3-4 パルスの立上がり立下がり特性

入力パルスおよび出力パルスの立上がり立下がり特性を図 6 に示す。入力パルスは立上がり立ち下がりともに約 10ns であるが、出力パルスのそれらは立上がりが 20ns, 立ち下がりが 30ns であった。

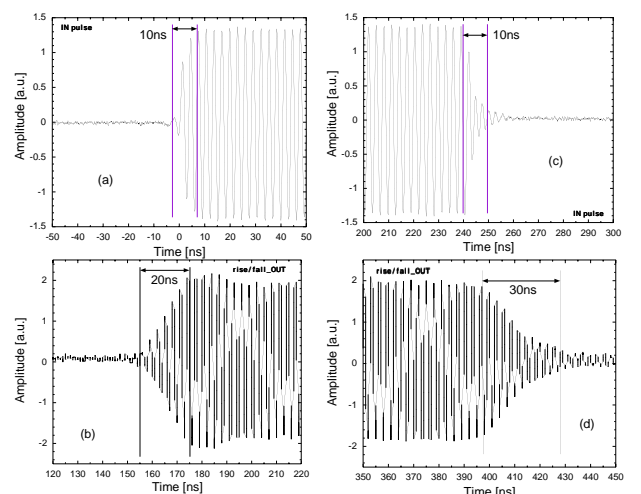


図 6 パルスの立上がり立下がり特性. (a)入力の立上がり, (b)出力の立上がり, (c)入力の立下がり, (d)出力の立下がり.

3.5 オーバーシュート, アンダーシュート
オーバーシュートおよびアンダーシュートは図 6 からわかるように $\pm 5\%$ 以下におさまっている。

3.6 パルス内の位相の平坦度

パルス内の位相の測定は 3.1 で述べたようにチョッパー用パルスについてはミキサーで、バンチャーパルスについては I/Q デモジュレーターで測定した。測定結果を図 7 に示す。チョッパー用パルスに対しては、出力電力 10kW まで立上がり立ち下がりの数 10ns を除いて $\pm 1.5^\circ$ 以下であるが、バンチャーパルスに対しては出力電力が増えるにつれて位相の平坦度は悪化してゆき 10kW では $\pm 8^\circ$ に達している。図 8 は出力電力とパルス内位相平坦度の関係を示したものである。出力電力が 5kW 以上になると急激に位相平坦度が悪くなるのでフィードバック制御が必要である。

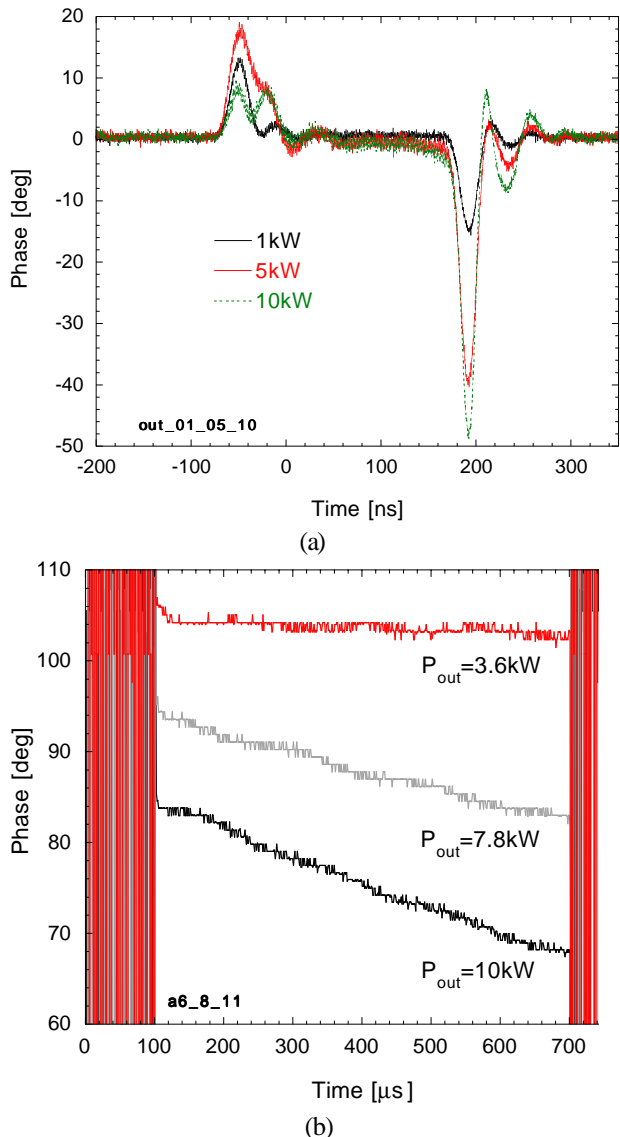


図 7 パルス内位相平坦度. (a) チョッパー用パルス, (b) バンチャーパルス.

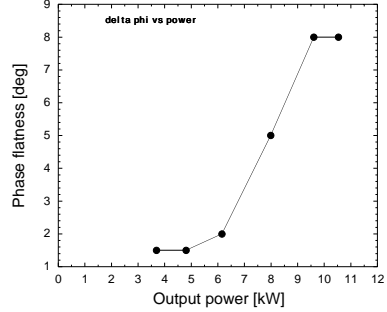


図 8 出力電力とパルス内位相平坦度の関係(バンチャーパルス).

3.7 振幅, 位相の長時間変動

出力電力の振幅および位相の長時間(12 時間)変動を測定した(バンチャーパルスに対してのみ, パルス幅 600μs, 繰返し 10Hz)。測定結果を図 9 に示す。温度は筐体内部のパワーアンプ近傍に設置したサーミスタによりモニターした。

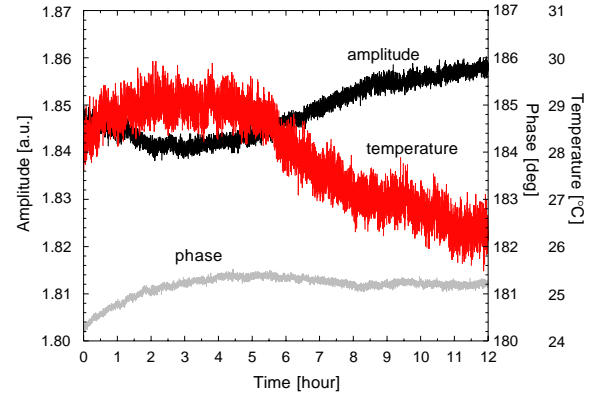


図 9 振幅, 位相の長時間変動.
温度, 振幅, 位相の変動は, それぞれ $\pm 0.5^\circ\text{C}$, $\pm 0.5\%$, $\pm 0.6^\circ$ であった。振幅, 位相とともにフィードバック制御による変動の低減が必要である。

4. まとめ

バンチャーパルス用 324MHz 10kW の高周波パルス増幅器を製作し, 高周波特性を測定した。また, チョッパー用増幅器としての特性評価も行なった。表 1 に掲げた仕様は満たしているが, バンチャーパルスにたいしてはパルス内およびパルス間の振幅・位相フィードバックが必要であること, チョッパー用パルスに対しては, 立上がり立ち下がり時間を現在の値(20ns)の半分以下にする必要があることが示された。

参考文献

- [1] “大強度陽子加速器計画”, KEK Report 99-5, JAERI-Tech 2000-003, JHF-99-4.
- [2] T. Kato and S. Fu, “MEBT Design for the JHF 200MeV Proton Linac”, Proc. 19th Int'l Linac Conf. Chicago, August 23-28, 1998, pp.70-72.
- [3] S. Fu and T. Kato, Nucl. Instr. Meth. A440 (2000), pp.296-306.